

Figura S.1 (a) y (b) Representación tridimensional de las imágenes de las figuras 2.1(a) y 2.3(b)

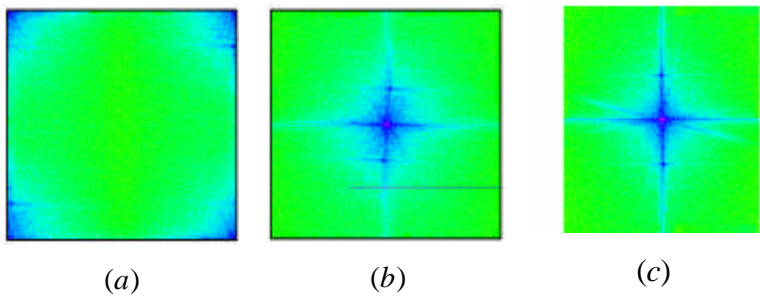


Figura S.2 (a) y (b) Espectros de frecuencia original y trasladado al centro y coloreados de la imagen de la figura 2.9; (c) espectro de frecuencia de la imagen de la figura 2.8(a)

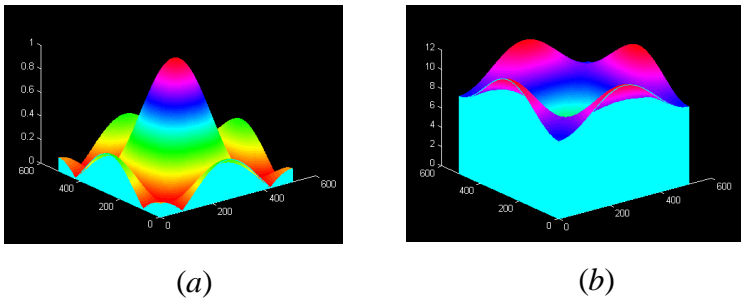


Figura S.3 (a) y (b) Espectros de frecuencia en 3D de los filtros paso bajo y paso alto definidos en las ecuaciones (2.43) y (2.44) respectivamente

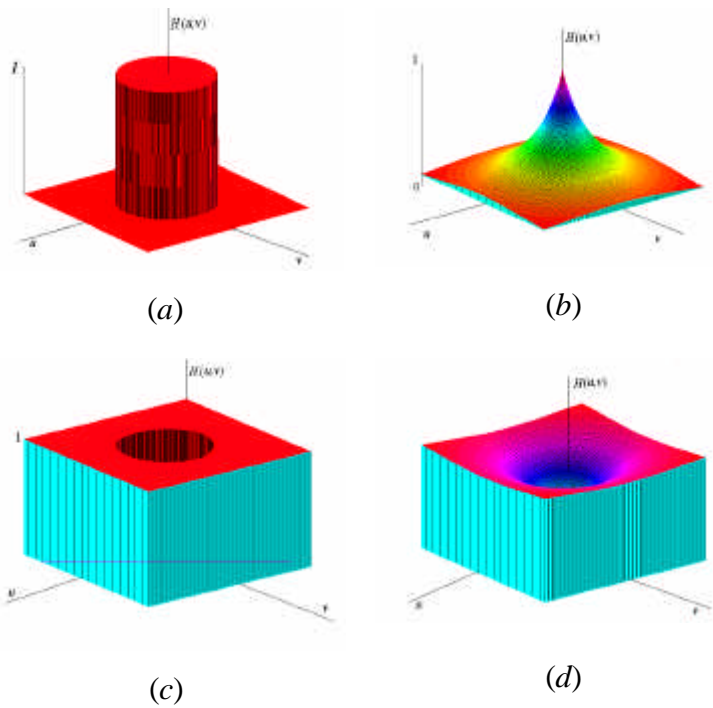


Figura S.4 (a) Perspectivas 3-D de la función de transferencia de los filtros: (a) paso bajo ideal según la ecuación (2.48); (b) paso bajo de Butterworth según la ecuación (2.50); (c) paso alto ideal dado por la ecuación (2.52); (d) paso bajo de Butterworth dado por la ecuación (2.53)

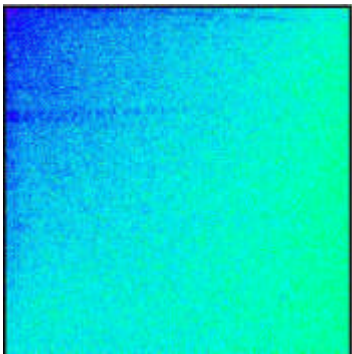


Figura S.5 Espectro de frecuencias de la transformada del coseno para la imagen de la figura 2.9

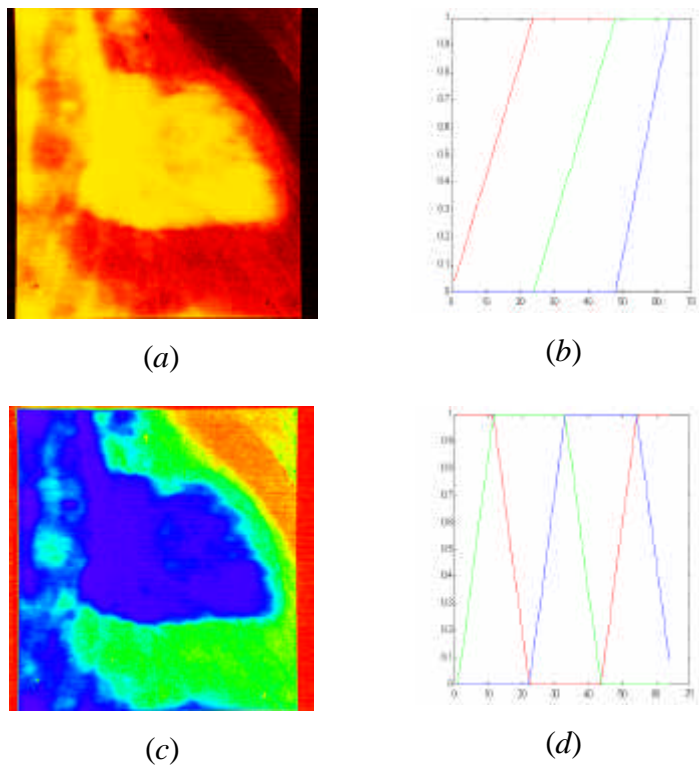


Figura S.6\* (a) Imagen de colores y la representación de su mapa de colores (b); (c) la misma imagen pero con un nuevo mapa de colores, cuya representación se muestra en (d) (Capítulo 3)

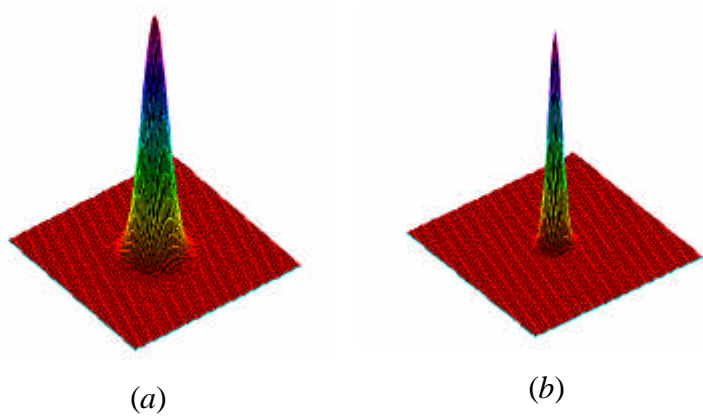


Figura S.7 (a) Núcleo Gaussiano definido por (4.3); (b) su transformada de Fourier

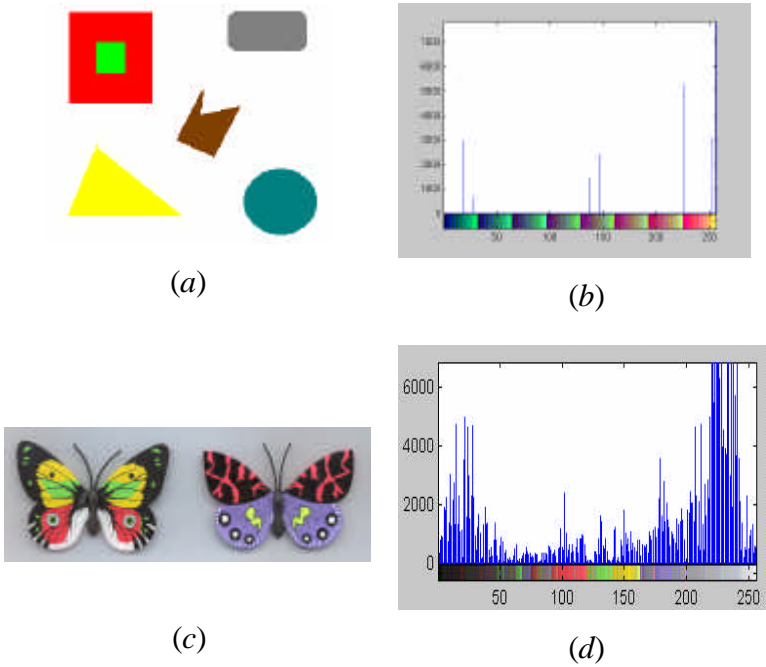


Figura S.8(a) Imagen sintética en color con seis únicos colores y el fondo blanco; (b) su histograma de frecuencias de los niveles de color (6 barras correspondientes a los 6 colores más una barra adicional en el extremo derecho correspondiente al fondo blanco); (c) imagen original real en color; (d) su histograma de los niveles de color

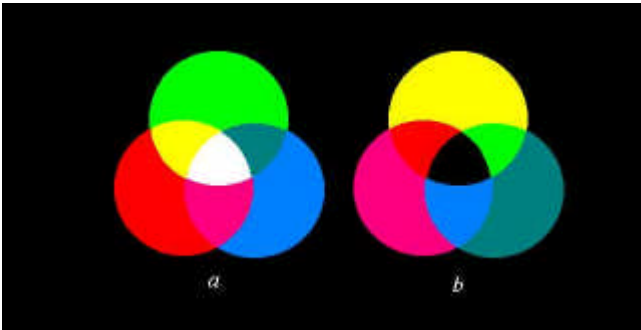


Figura S.9 Colores primarios y secundarios de luz y pigmentos: (a) mezcla de luz (adición de primarios); (b) mezcla de pigmentos (sustracción de primarios)



























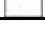





R	G	B	Resultado
			
			
			
			
			
			
			
			

Figura S.10. Combinaciones de valores R,G,B para derivar un determinado color

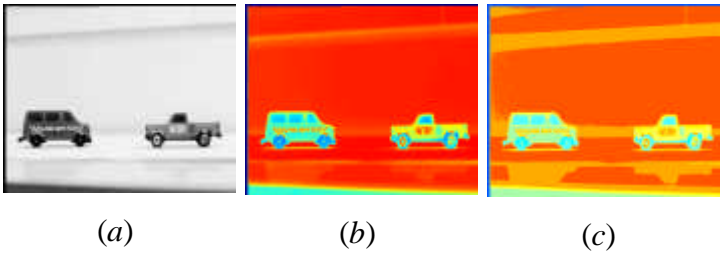


Figura S.11 (a) Imagen original con valores de intensidad en el rango 0 a 255; (b) resultado de aplicar el método de rodajas de intensidad con 200 planos equidistantes; (c) el mismo método con sólo 10 planos



Figura S.12 (a) Imagen original con valores de intensidad en el rango 0 a 255; (b) resultado de aplicar (5.33) con  $a = 2p$ .

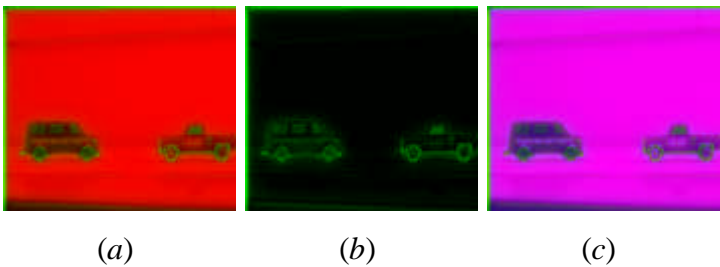


Figura S.13 (a) Resultado de inyectar 5.9(b) y 5.9(c) a los canales rojo y verde respectivamente y al azul una imagen negra; (b) resultado de inyectar 5.9(c) al canal verde y sendas imágenes negras al verde y azul; (c) resultado de inyectar 5.9(a), (b) y (c) a los canales azul, rojo y verde respectivamente



Figura S.14 (a) Imagen original en color con componentes R,G,B dadas en la figura 5.10; (b) patrón de prueba RGB que origina las imágenes de la figura 5.11